

Hardwareorientierte Numerik für FEM-Frameworks

Markus Geveler

Institut für Angewandte Mathematik
TU Dortmund, Germany
markus.geveler@math.tu-dortmund.de

G2CG
Kaiserslautern, 18. April 2012

Einleitung

Zwei ausgewählte Schlüsselaspekte des Wissenschaftlichen Rechnens

- *Alle Ebenen von Parallelität der (oft heterogenen) Hardware müssen berücksichtigt werden*
 - Vektorisierung auf einem core (SIMD)
 - multi-core / many-core (CPUs + GPUs)
 - verteilter Speicher
 - ILP, ...
 - heterogene Ressourcen (auf Knoten- und Chip-Ebene)
 - → Hardwareeffizienz
- *Alle Ebenen des numerischen Lösungsverfahrens müssen berücksichtigt werden*
 - Diskretisierung in Ort und Zeit
 - Stabilisierung, Linearisierung nicht-linearer Probleme
 - *Lösung der linearen Systeme*
 - *Komponenten dieser Löser*
 - → Numerische Effizienz

Motivation

Hardware- und Numerische Effizienz beeinflussen sich gegenseitig

- Beispiel: Vorkonditionierung in linearen Lösern
 - gute Vorkonditionierung → bessere Konvergenzrate
 - oft: gute Vorkonditionierung → höhere algorithmische Komplexität, schlechtere Parallelisierbarkeit

→ **simultane Berücksichtigung von Hardware- und Numerischer Effizienz unbedingt erforderlich!**

Motivation

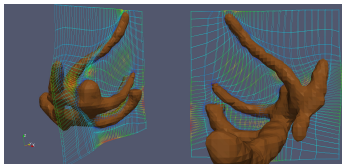
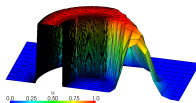
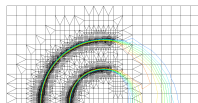
Heute am Beispiel:

- geometrische Mehrgitterlöser zugeschnitten für FEM
- hardwareorientiert: GPUs vs. multi-core CPUs
- numerisch stark: Sparse Approximate Inverse -basierte Glätter
- flexibel: unstrukturierte Gitter

Motivation

FEM

- hochgradig genaue und flexible Methoden für PDEs:
 - Elemente hoher Ordnung (auch nicht-konform)
 - *beliebig unstrukturierte Gitter*
 - Gitteradaptivität
 - Pressure-Schur-Complement Vorkonditionierung
 - ...
- in Verbindung mit geometrischen Mehrgittermethoden:
 - Konvergenzraten unabhängig von der Gitterschrittweite
 - superlineare Konvergenzeffekte möglich (→ Elemente hoher Ordnung)

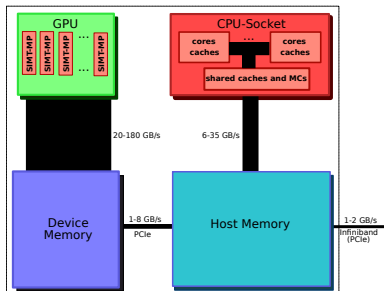


→ **Finite Element (geometric) Multigrid (FE-gMG) Framework**

Motivation

GPUs

- Parallelisierungstechniken für FEM beschränken sich oft auf das Auswechseln von Basiskomponenten
- komplette Frameworks / komplexe Löser wenig thematisiert
- in FE-gMG:
 - strukturierte Gitter + zugehörige Operatoren für GPUs gut verstanden (→ Dominik Götdeke, 1. FEAST Generation)
 - unstrukturierte Gitter + starke Glätter + GPUs / multi-core wenig thematisiert

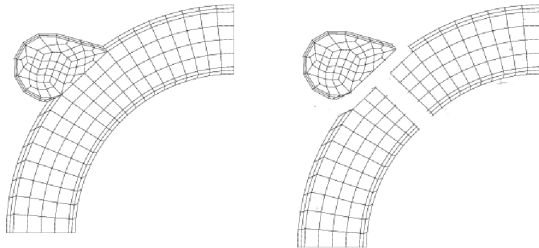


FE-gMG - Performance-Aspekte

- FE-Raum höherer Ordnung → höhere numerische Qualität → höhere algor. Komplexität
- starke Glätter → höhere numerische Effizienz → höhere algor. Komplexität
- Abhängigkeit von Gitter, DOF-Nummerierung
- Abhängigkeit von Speicherformat, hardwarespezifischer Implementierung
- andere, z.B.: Zykluskontrolle

Einordnung von FE-gMG

Parallele lineare Löser für FEM



- starte mit konformem Grobgitter
- Zusammenfassen von Grobgitterzellen zu Matrixpatches für die Assemblierung lokaler Matrizen (strukturiert und unstrukturiert)
- Matrixpatches werden durch den Lastverteiler auf MPI-Prozesse verteilt (zunächst statisch, dann auf der Grundlage gesammelter Statistik-Daten)

Scalable Recursive Clustering

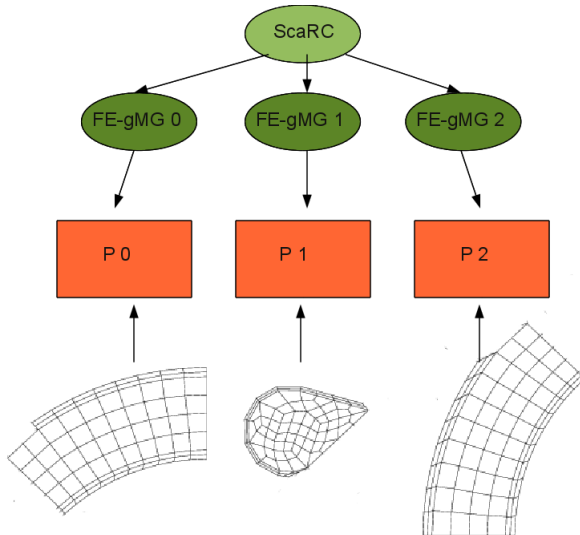
Einordnung von FE-gMG: ScaRC Löser

- auf globalem Problem wird ein datenparalleles Lösungsverfahren definiert
- als Glätter für den globalen Löser: Rekursion oder *blockweise lokale Löser* → FE-gMG
- Typ des Matrixpatches entscheidet über lokale Löserkomponenten innerhalb der Rekursion
- Anwendung des ScaRC-Glätters: globaler Defekt → lokale Löser (Rekursion oder FE-gMG) → globale Korrektur

Ziel: numerisch skalierbarer Löser

Scalable Recursive Clustering

Einordnung von FE-gMG: ScaRC Löser



Idee: Ein performance-kritischer Kernel für gMG: SpMV

- Grobgitter Löser: Vorkonditionierte Krylov-Unterraum-Methoden
- Glätter: je nach Notwendigkeit basierend auf
 - vorkonditioniertem Richardson-Verfahren oder
 - Krylov-Unterraum-Methoden
- Defektberechnung

Was übrig bleibt...

- ein wenig BLAS-1 (dot-product, norm, scale, ...)
- wichtige Idee: *Gittertransfer* → kann auch auf SpMV zurückgeführt werden

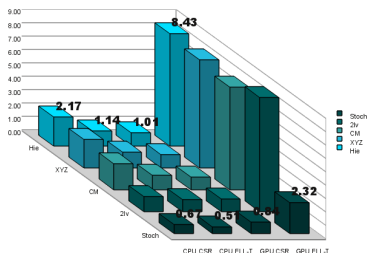
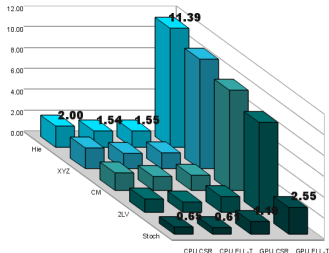
Vorteile

- Flexibilität der Implementierung (ausgewechselt werden nur *Matrizen*) → blackbox
- unabhängig von FE-Raum, Dimension
- performance-tuning an einer zentralen Stelle

SpMV: CSR vs. ELLPACK-R

Ausgangspunkt: SpMV kernel - Performance

- hier: Steifigkeitsmatrizen aus einem 3D-Poisson Problem, links Q_1 , rechts Q_2 (mehr Nichtnulleinträge)
- Freiheitsgrad-Nummerierungstechnik: hell nach dunkel → mehr Matrixbandbreite



- → Portierung von CSR-SpMV auf GPUs katastrophal
- → im Folgenden: ELLPACK-R mit Erweiterung
- → im Hinterkopf behalten: Nummerierung der DOFs / Anzahl der nonzeros kritisch

Implementierung von SpMV

ELLPACK-R

- Grundidee: speichere sparse matrix S in zwei arrays A (non-zeros in column-major order) und j (Spalten-Index für jeden Eintrag in A)
- A hat $(\# \text{Zeilen in } S) \times (\text{maximale Anzahl non-zeros in Zeilen von } S)$
- kürzere Zeilen werden aufgefüllt
- zusätzliches array rl um die effective Anzahl von non-zeros in Zeile zu speichern (stoppe Berechnung auf einer Zeile richtig)

$$S = \begin{bmatrix} 1 & 7 & 0 & 0 \\ 0 & 2 & 8 & 0 \\ 5 & 0 & 3 & 9 \\ 0 & 6 & 0 & 4 \end{bmatrix} \Rightarrow A = \begin{bmatrix} 1 & 7 & * \\ 2 & 8 & * \\ 5 & 3 & 9 \\ 6 & 4 & * \end{bmatrix} \quad j = \begin{bmatrix} 0 & 1 & * \\ 1 & 2 & * \\ 0 & 2 & 3 \\ 1 & 3 & * \end{bmatrix} \quad rl = \begin{bmatrix} 2 \\ 2 \\ 3 \\ 2 \end{bmatrix}$$

ELLPACK-R

Was gewinnt man mit ELLPACK-R?

$$y_i = \sum_{nz=0}^{rl_i} A_{i,nz} * x_{j_{nz}}$$

- vollständig reguläres Zugriffsmuster auf y und A
- GPU-Implementierung:
 - ein thread für jedes Element y_i
 - → Zugriffe auf die drei ELLPACK-R arrays und y vollständig coalesced (column-major)
 - → Zugriff auf x : verwende texture-cache (FERMI: L2-cache)
 - → keine Synchronisation zwischen threads nötig
 - → keine branch-divergence
 - zusätzlich: Erweiterung des Produktes so, dass mehrere threads eine Zeile bearbeiten können (ELLPACK-T)
- *Zugriffsmuster auf x hängt stark von Besetzungsmuster von A ab* → Bandbreite durch DOF-Nummerierung

SpMV in gMG (1)

Nutzung von SpMV für Glätter, Grobgitterlöser

- vorkonditioniertes Richardson Verfahren:

$$\mathbf{x}^{k+1} \leftarrow \mathbf{x}^k + \omega M(\mathbf{b} - A\mathbf{x}^k)$$

- CG oder BiCGStab Verfahren: Anwendung des Vorkonditionierers, Defekte, ...

Glätterkonstruktion

Wir brauchen: starke Glätter

- Beschränkung auf Jacobi katastrophal
- gute Vorkonditionierer oft schwer zu parallelisieren
- Idee: Vorkonditionierungsschritt im Glätter reduziert auf SpMV-Anwendung
- → *Sparse Approximate Inverse*-Techniken

SPAI

$$\| I - MA \|_F^2 = \sum_{k=1}^n \| e_k^T - m_k^T A \|_2^2 = \sum_{k=1}^n \| A^T m_k - e_k \|_2^2$$

wobei e_k der k -te Einheitsvektor und m_k die k -te Zeile von M ist. → für n Spalten von M → n *least squares* Optimierungsprobleme:

$$\min_{m_k} \| A^T m_k - e_k \|_2, \quad k = 1, \dots, n.$$

- verwende Besetzungsstruktur der Steifigkeitsmatrix als Muster für M

Glätterkonstruktion

starke Glätter: SAINV

- *Stabilised Approximate Inverse*
- berechne Faktorisierung $A^{-1} = ZD^{-1}Z^T$ wobei Z und D explizit berechnet werden: A -Biconjugation angewendet auf die Einheitsbasisvektoren
- Z wird unvollständig assembliert: Elemente unterhalb drop-tolerance werden ignoriert
- keine Strukturvorgabe möglich (im Gegensatz zu SPAI)
- \rightarrow im Einzelfall: bessere Näherung an A^{-1}
- SAINV etwa so gut wie ILU(0)
- Problem: inhärent sequentiell

SpMV in gMG (2)

Nutzung von SpMV für Glätter, Grobgitterlöser: haben wir gesehen

Jetzt: Nutzung von SpMV für den Gittertransfer:

- zwei konforme FE-Räume V_{2h} und V_h
- mit Lagrange-Basis: Interpolation (Gittertransfer) kann durch SpMV ausgedrückt werden

Prolongationsmatrix

$$(P_{2h}^h)_{ij} = \varphi_{2h}^{(j)}(\xi_h^{(i)})$$

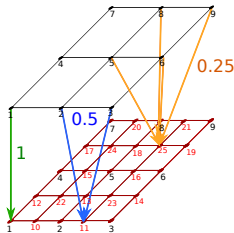
Restriktionsmatrix

$$R_h^{2h} = (P_{2h}^h)^T$$

Transferoperatoren

Beispiel: 2D Q_1

- Knotenpunkte $\xi_h^{(i)}$ von V_h sind identisch mit Vertices $v_h^{(i)}$ des Gitters Ω_h
- Jeder Vertex $v_h^{(i)}$ von Ω_h korrespondiert entweder mit einem Vertex in Ω_{2h} oder mit dem Mittelpunkt einer Kante eines Quads in Ω_{2h}
- n_{2h}^v #Vertices gesamt, n_{2h}^e #Kanten und n_{2h}^q #Quads von $\Omega_{2h} \Rightarrow n_h^v = n_{2h}^v + n_{2h}^e + n_{2h}^q$ #Vertices in Ω_h



Transferoperatoren

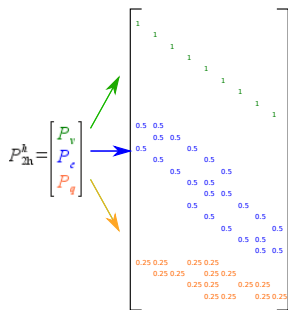
Beispiel: 2D Q_1

- Ausgangspunkt: 2lv Sortierung der Vertices $v_h^{(i)}$ von Ω_h und damit der Basisfunktionen $\varphi_h^{(i)}$ des V_h
- \Rightarrow die $n_h^v \times n_{2h}^v$ Prolongationsmatrix hat Blockstruktur:

$$P_{2h}^h = \begin{bmatrix} P_v \\ P_e \\ P_q \end{bmatrix},$$

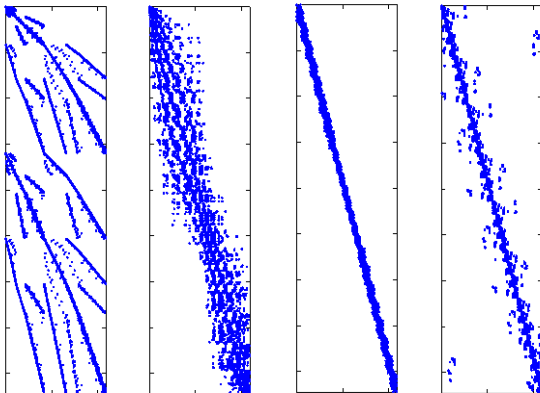
(P_v ist $n_{2h}^v \times n_{2h}^v$ Identitätsmatrix, P_e sind $n_{2h}^e \times n_{2h}^v$ bzw. P_q $n_{2h}^q \times n_{2h}^v$ Matrizen.)

- jede Zeile i in P_e repräsentiert den Vertex in Ω_h , der mit dem Mittelpunkt der Kante i in Ω_{2h} korrespondiert. P_q analog für Quad-Mittelpunkte



Transferoperatoren

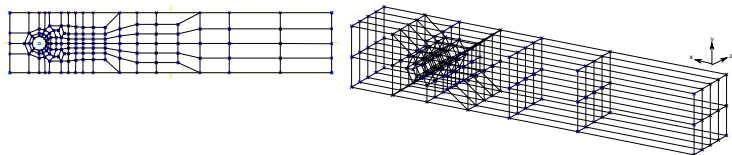
Prolongationsmatrix - Beispiele



- DOF Nummerierungstechnik → Performance

Ergebnisse

Beispiel



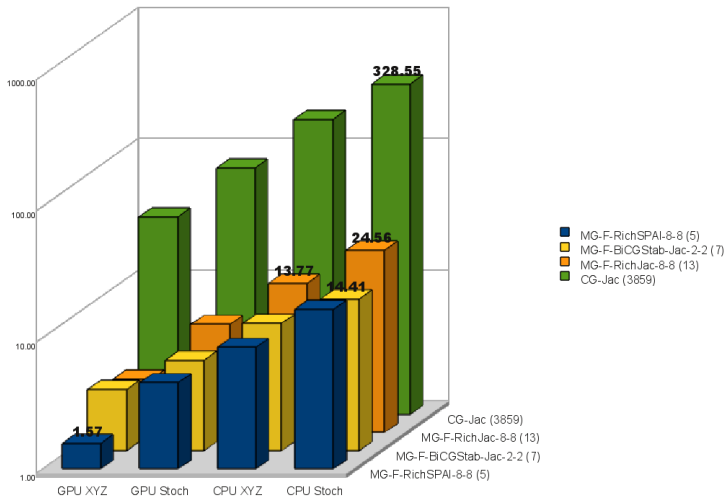
- populäres Gitter, unstrukturiert, Poisson Problem
- 2D und 3D, Q_1 und Q_2 FE, CPU (Core i7 980X, 6 threads) und GPU (Tesla C2070)
- starke Glättung mit Approximate Inverse Techniken (SPAI, SAINV)

$$\begin{cases} -\Delta u = 1, & \mathbf{x} \in \Omega \\ u = 0, & \mathbf{x} \in \Gamma_1 \\ u = 1, & \mathbf{x} \in \Gamma_2 \end{cases}$$

- verschiedene FE-Räume
- verschiedene DOF numbering Techniken

Ergebnisse

FE-gMG: Ergebnisse



FE-gMG

- völlig unstrukturierte (Teil-) Gitter möglich
- erstmals vollständiger geometrischer MG auf GPU (unstrukturiert)
- hohes Erweiterbarkeitspotential Glätter/Vorkonditionierer: SPAI, SAINV, ILU, poly.
- Nummerierung der Freiheitsgrade ist kritisch

Die Kombination von zugeschnittenen numerischen Methoden und Hardwareorientierung liefert bis zu 3 Gr.-Ordnungen speedup. Daran hat die numerische Effizienz den Hauptanteil.

Der nächste Schritt

Assemblierung und GPUs

- Verschiedene Matrizen und Erzeugungsalgorithmen in FE-gMG
 - FEM-spezifisch (abhängig von Gitter/Nummerierungsart, PDE):
Steifigkeit, Masse
 - gMG-spezifisch (abhängig von Gitter/Nummerierungsart):
Transfermatrizen
 - Glätterspezifisch (Abhängig von Systemmatrizen, Algorithmus):
Approximate Inverses
- potentiell sehr unterschiedliche Eigenschaften (Bandbreite, #non-zeros / Zeile, #non-zeros, ...)
- Speichertechniken sind unterschiedlich stark für unterschiedliche Architekturen
- Speichertechniken sind unterschiedlich stark für verschiedene Aufgaben
 - SpMV: ELLPACK-T sehr gut für GPUs
 - Assemblierung: andere Formate gebraucht → wahlfreier Zugriff

Der nächste Schritt

Assemblierung und GPUs

- FEM-Matrizen: Potentiell viele Möglichkeiten auf GPUs: Beispiel CSR-basiert
- Ziel: minimiere globale Speichertransaktionen, nutze Speicherhierarchien aus, balanciere Redundanz und Effizienz
 - 1 Thread pro Zeile? (extra-lookups in die Spalten, stark abhängig von konkretem Speicherformat)
 - 1 Thread pro non-zero? (Schlechte Balance z.B.: zwischen Haupt- und Nebendiagonalen)
 - 1 Thread pro Element? (race-conditions bei den updates)

→ **in Arbeit**

Der nächste Schritt

Assemblierung und GPUs

- Sparse Approximate Inverse: Potentiell viele Erzeugungsalgorithmen
 - SPAI: gut parallelisierbar
 - SAINV: manchmal numerisch besser aber inhärent sequentiell
 - andere Approximierte Inverse: Polynomielle Vorkonditionierer?
 - temporale Überlappung mit Erzeugung der Systemmatrizen?
- Transferoperatoren
 - Blockweiser Ansatz?

→ **in Arbeit**

Fazit

Zusammenfassung

- FE-gMG ist ein Beispiel für simultane Berücksichtigung von Numerischer und Hardwareeffizienz
- hohe Flexibilität unstrukturierter Gitter
- Ausnutzung von GPUs auch für sehr komplexe Anwendungen

Zukünftige / derzeitige Arbeiten

- Assemblierung
- Optimierung: Verluste in Transferoperatoren
- Performancemodellierung in ScaRC / Verbesserung numerischer Skalierbarkeit

Danksagung

Unterstützt durch das BMBF, *HPC Software für skalierbare Parallelrechner:
SKALB Projekt 01IH08003D.*

Unterstützt durch die DFG, *SFB 708 TP B1 & SPP 1423, TU 102/32-2.*

Dank an das FEAST-Team.

Dank an alle Entwickler von HONEI (www.honei.org).

Dank an das LiDO-Team © DOWIHR.